



Fundação CECIERJ - Vice Presidência de Educação Superior a Distância

Curso de Tecnologia em Sistemas de Computação

Disciplina: Computação Gráfica

AD2 - 1º semestre de 2008.

- 1) Determine a matriz de transformação 4x4 M_{obj} , em coordenadas homogêneas, que representa a mudança do sistema de coordenadas do mundo para o sistema de coordenadas da câmera (1.0 ponto).

A matriz L_{at} que faz a mudança de coordenadas do sistema do mundo para o sistema da câmera é dada pelo produto das matrizes R_{ew} e T_{ew} .

$$L_{at} = R_{ew} \circ T_{ew} = \begin{bmatrix} x_{ex} & x_{ey} & x_{ez} & 0 \\ y_{ex} & y_{ey} & y_{ez} & 0 \\ z_{ex} & z_{ex} & z_{ex} & 0 \\ 0 & 0 & 0 & 1 \end{bmatrix} \begin{bmatrix} 1 & 0 & 0 & -eye_x \\ 0 & 1 & 0 & -eye_y \\ 0 & 0 & 1 & -eye_z \\ 0 & 0 & 0 & 1 \end{bmatrix}$$

onde T_{ew} posiciona o sistema que define o referencial da câmera na origem e R_{ew} alinha os eixos do sistema da câmera com os eixos canônicos. Em outras palavras a matriz L_{at} , faz com que o sistema de referência passe a ser o sistema da câmera.

- 2) Seja a matriz

$$T = \begin{bmatrix} n_x & o_x & a_x & p_x \\ n_y & o_y & a_y & p_y \\ n_z & o_z & a_z & p_z \\ 0 & 0 & 0 & 1 \end{bmatrix}$$

representando um movimento rígido do espaço em coordenadas homogêneas. Mostre que a transformação inversa é dada por

$$T^{-1} = \begin{bmatrix} n_x & n_y & n_z & -\langle p, n \rangle \\ o_x & o_y & o_z & -\langle p, o \rangle \\ a_z & a_y & a_z & -\langle p, a \rangle \\ 0 & 0 & 0 & 1 \end{bmatrix}$$

Dica: as três primeiras colunas de T são formadas por vetores ortonormais (1.0 ponto).

A matriz T pode ser escrita como o produto

$$T = \begin{bmatrix} n_x & o_x & a_x & p_x \\ n_y & o_y & a_y & p_y \\ n_z & o_z & a_z & p_z \\ 0 & 0 & 0 & 1 \end{bmatrix} = \begin{bmatrix} 1 & 0 & 0 & p_x \\ 0 & 1 & 0 & p_y \\ 0 & 0 & 1 & p_z \\ 0 & 0 & 0 & 1 \end{bmatrix} \begin{bmatrix} n_x & o_x & a_x & 0 \\ n_y & o_y & a_y & 0 \\ n_z & o_z & a_z & 0 \\ 0 & 0 & 0 & 1 \end{bmatrix}$$

logo,

$$\begin{aligned} T^{-1} &= \left(\begin{bmatrix} 1 & 0 & 0 & p_x \\ 0 & 1 & 0 & p_y \\ 0 & 0 & 1 & p_z \\ 0 & 0 & 0 & 1 \end{bmatrix} \begin{bmatrix} n_x & o_x & a_x & 0 \\ n_y & o_y & a_y & 0 \\ n_z & o_z & a_z & 0 \\ 0 & 0 & 0 & 1 \end{bmatrix} \right)^{-1} = \begin{bmatrix} n_x & o_x & a_x & 0 \\ n_y & o_y & a_y & 0 \\ n_z & o_z & a_z & 0 \\ 0 & 0 & 0 & 1 \end{bmatrix}^{-1} \begin{bmatrix} 1 & 0 & 0 & p_x \\ 0 & 1 & 0 & p_y \\ 0 & 0 & 1 & p_z \\ 0 & 0 & 0 & 1 \end{bmatrix}^{-1} = \\ &= \begin{bmatrix} n_x & n_y & n_z & 0 \\ o_x & o_y & o_z & 0 \\ a_z & a_y & a_z & 0 \\ 0 & 0 & 0 & 1 \end{bmatrix} \begin{bmatrix} 1 & 0 & 0 & -p_x \\ 0 & 1 & 0 & -p_y \\ 0 & 0 & 1 & -p_z \\ 0 & 0 & 0 & 1 \end{bmatrix} = \begin{bmatrix} n_x & n_y & n_z & -(n_x p_x + n_y p_y + n_z p_z) \\ o_x & o_y & o_z & -(o_x p_x + o_y p_y + o_z p_z) \\ a_z & a_y & a_z & -(a_x p_x + a_y p_y + a_z p_z) \\ 0 & 0 & 0 & 1 \end{bmatrix} = \\ &= \begin{bmatrix} n_x & n_y & n_z & -\langle p, n \rangle \\ o_x & o_y & o_z & -\langle p, o \rangle \\ a_z & a_y & a_z & -\langle p, a \rangle \\ 0 & 0 & 0 & 1 \end{bmatrix} \end{aligned}$$

- 3) Determine a matriz de projeção 4x4 que preserva a ordem relativa dos pontos em coordenadas de tela 3D (1.0 ponto).

A matriz de projeção

$$P = \begin{bmatrix} n & 0 & 0 & 0 \\ 0 & n & 0 & 0 \\ 0 & 0 & n & 0 \\ 0 & 0 & -1 & 0 \end{bmatrix}$$

leva as coordenadas de profundidade de todos os pontos visíveis dentro do volume de visualização no plano *near*, o que faz com que percamos a ordem relativa entre os elementos projetados.

Entretanto, é possível corrigir este problema determinando-se uma matriz, tal que a profundidade $z'' = z'/w$, resultante da coordenada projetada z' , seja uma função monotônica da profundidade z original do ponto. Para isto precisamos determinar os coeficientes α e β na matriz abaixo, cujo produto da terceira linha pelo vetor de coordenadas especifica a equação à direita, que descreve uma função monotônica (verificar o gráfico da função ou se não há troca de sinais na primeira derivada).

$$P' = \begin{bmatrix} n & 0 & 0 & 0 \\ 0 & n & 0 & 0 \\ 0 & 0 & \alpha & \beta \\ 0 & 0 & -1 & 0 \end{bmatrix}$$

$$z'' = \frac{z'}{w'} = \frac{\alpha z + \beta}{-z}$$

Para determinar α e β lembremos que os valores de profundidade dos pontos no plano *near* e *far* devem ser preservados ($-n$ e $-f$, respectivamente), assim chegamos ao seguinte sistema:

$$\begin{aligned} \frac{\alpha(-n) + \beta}{-(-n)} &= -n, \text{ valor de } z'' \text{ para o plano near} \\ \frac{\alpha(-f) + \beta}{-(-f)} &= -f, \text{ valor de } z'' \text{ para o plano far} \end{aligned}$$

A solução do sistema acima indica que $\alpha = n+f$ e $\beta = nf$, donde chegamos a matriz:

$$P' = \begin{bmatrix} n & 0 & 0 & 0 \\ 0 & n & 0 & 0 \\ 0 & 0 & n+f & nf \\ 0 & 0 & -1 & 0 \end{bmatrix}$$

- 4) Descreva o algoritmo de *Sutherland* e *Hodgman* para recorte de polígonos. Considere que a janela de recorte é dada por uma região retangular (0.5 ponto).

O algoritmo de *Sutherland* e *Hodgman* é semelhante ao algoritmo de *Cohen-Sutherland*. O polígono é recortado sucessivamente contra todos os lados da figura de recorte, ou seja, a janela de recorte retangular. O algoritmo trabalha sobre uma lista circular de vértices, sendo que os vértices, e também as arestas que os conectam, são processados em sequência e classificados contra o lado corrente do polígono de recorte.

Criar um lista circular **le** contendo os vértices do polígono.

PARA (cada lado **l** da janela)

 PARA (cada vértice **v** de **le**)

 SE (**v** está dentro da janela de recorte) ENTÃO

 Copiar **v** para a lista de saída **ls**

 FIM_SE

 SE (a aresta formada por **v** e o sucessor **v'** de **v** intersecta **l**) ENTÃO

 Calcular ponto de interseção **v''**.

 Copiar **v''** para a lista de saída **ls**.

 FIM_SE

 FIM_PARA

le \leftarrow **ls**

FIM_PARA

- 5) Escreva um algoritmo que determina a classificação de um ponto, através de um código de 4 bits, com relação às nove regiões determinadas por uma janela retangular (0.5 ponto).

```
Função classifica (x, y, xMin, xMax, yMin, yMax) retorna inteiro
{
  Declare classifica como inteiro

  classifica = 0

  SE ( y > yMax ) ENTÃO classifica ← (classifica ou 8)

  SE ( y < yMin ) ENTÃO classifica ← (classifica ou 4)

  SE ( x > xMax ) ENTÃO classifica ← (classifica ou 2)

  SE ( x < xMin ) ENTÃO classifica ← (classifica ou 1)

  retorne classifica
}
```

Observação: o operador **ou** é um **ou lógico**.

- 6) Descreva em detalhes a equação de iluminação Phong e cada uma de suas componentes: ambiente, difusa e especular (0.5 ponto).

A equação phong é dada por

$$I = K_a I_a + \text{Somatório}[i=0,n] (K_d I_i (N.L) + K_e I_i (O.R))$$

K_a , K_d e K_e são as constantes do material, descrevendo como reagem a cada um dos componentes de iluminação. I_a é o coeficiente de iluminação ambiente. O somatório significa que será efetuado um cálculo de difuso e especular para cada uma das fontes de luz, de um total de n . I_i é a intensidade de iluminação da fonte de luz. N é a normal do ponto que se está calculando, O é o vetor do observador ao ponto da superfície em questão e R é o vetor de reflexo no ponto da superfície.

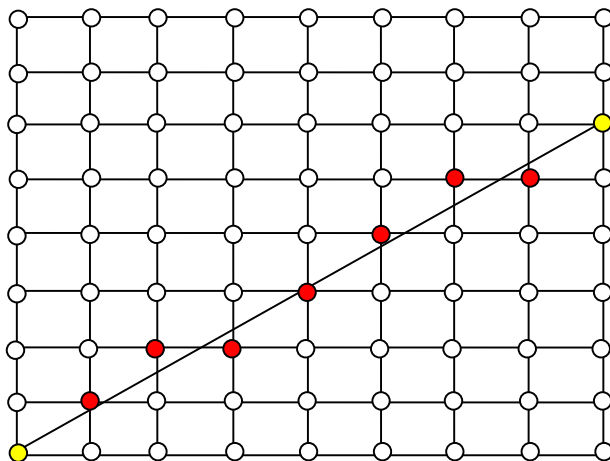
- 7) No modelo Phong, porque a iluminação ambiente é uma aproximação distante da iluminação ambiente real? (0.5 ponto)

Porque se está multiplicando por um valor que é constante para toda a cena, quando na realidade esta constante deveria ser para cada ponto da cena. Entretanto, é extremamente custoso calcular qual é este coeficiente para cada parte.

- 8) Descreva as diferenças entre os algoritmos de tonalização de *Gouraud* e *Phong*. Explique porque o algoritmo de *Gouraud* não modela bem os efeitos de reflexão especular (1.0 ponto).

O algoritmo Gouraud realiza o cálculo de iluminação apenas para os vértices do polígono. A cor do interior do polígono será interpolada, sem realizar cálculo de iluminação algum. O modelo Phong calcula a iluminação para cada ponto visível. Os efeitos de especularidade requerem que sejam computados pixel a pixel do interior do polígono. O algoritmo de Gouraud não irá apresentar um resultado convincente porque interpola linearmente o resultado de uma função não linear calculada nos vértices, no caso da função utilizada pelo modelo de Phong.

- 9) Considerando o algoritmo do ponto-médio para rasterização de retas, determine quais *pixels* devem ser acessos no reticulado abaixo. Considere os *pixels* como sendo os elementos na interseção das retas do reticulado conforme ilustrado na figura abaixo (0.5 ponto).



- 10) Descreva o algoritmo Z-buffering (0.5 ponto).

O algoritmo se baseia no armazenamento dos valores de profundidade, associados aos pixels gerados pela rasterização de um polígono na tela, em uma área de memória temporária (o Z-Buffer). Inicialmente esta memória está inicializada com valores de profundidade muito distantes para todos os pixels. Durante a rasterização de um polígono no *framebuffer* (ou second Buffer), o algoritmo de Z-Buffer requer que seja feita uma consulta: o fragmento corrente tem um valor de profundidade maior ou menor do que o que está no Z-Buffer? Se for menor, então o pixel é atualizado com as informações do fragmento atual, descartando-se as informações anteriores (por exemplo, cor). Além disso, o valor de profundidade no Z-Buffer é atualizado com o novo valor, a profundidade do fragmento que foi considerado. Se for maior, o fragmento é desconsiderado.

- 11) Descreva os processos de mapeamento direto e inverso. Quais as vantagens do mapeamento inverso em relação ao mapeamento direto (1.0 ponto).

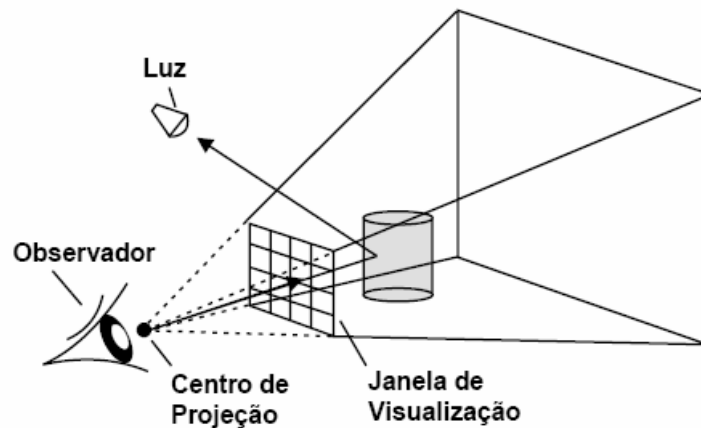
No mapeamento direto, os valores dos pixels em uma imagem destino ID são calculados a partir dos valores da imagem de origem IS através da transformação $T: IS(i,j) \rightarrow ID(i,j)$. No mapeamento inverso, percorrem-se os pixels da imagem destino, buscando os valores na imagem origem através da transformação inversa $T^{-1}: ID(i,j) \rightarrow IS(i,j)$.

A vantagem do mapeamento inverso é de que não surgem buracos na imagem destino devido a transformações que envolvam um fator de ampliação. Além disso, quando houver um fator de redução, é possível utilizar esquemas de filtragem considerando-se uma vizinhança em torno do pixel correspondente na imagem origem, efetuando-se deste modo uma amostragem mais apropriada.

- 12) Descreva o algoritmo de traçado de raios (*Raytracing*), mostrando onde ocorre a recursão (0.5 ponto) ?

O algoritmo do Raytracing simula a geometria ótica envolvida no trajeto dos raios de luz que viajam pelo espaço do cenário (algoritmo de iluminação global), embora o modelo funcione ao contrário do modelo físico, pois neste o raio de luz se origina no objeto e viaja até nossos olhos. Na técnica de Raytracing é suposto que o raio se originou em nossos olhos e atinge o objeto (Figura 13.1). A inversão não altera a geometria ótica envolvida. Descrevemos abaixo seu funcionamento:

1. Trace um “raio” a partir do observador até a cena a ser representada através de um pixel da tela;
2. Determine qual é o primeiro objeto a interceptar esse raio;
3. Calcule a cor da superfície do objeto no ponto de interseção baseado nas características do objeto e na luz;
4. Se a superfície do objeto for reflectiva, calcule um novo raio a partir do ponto de interseção e na “direção de reflexão”;
5. Se a superfície do objeto for transparente, calcule um novo raio (refratado) a partir do ponto de interseção.
6. Considere a cor de todos os objetos interceptados pelo raio até sair da cena ou atingir uma fonte de luz, e use esse valor para determinar a cor do pixel e se há sombras.



- 13) Todo algoritmo de recursão deve ter uma condição de parada. Explique qual é esta condição para o *Raytracing* (0.5 ponto).

O material dos objetos possui um índice de refletividade e de transmissão. Este índice é multiplicado pelo resultado acumulado das recursões anteriores. O algoritmo usa um valor destes índices para limitar as recursões. Estes índices são entre 0 e 1. Se for 1 para cada material, então o algoritmo nunca irá parar, mas se for menor que 1, em algum momento o índice será um valor próximo de zero, o que indica a parada da recursão.

- 14) O que são *key-frames*. Explique em que consiste o processo de *in-betweening* (0.5 ponto).

Key-frames são os quadros que especificam o início e fim de uma transição suave em uma animação. O processo de *in-betweening* consiste na geração dos quadros intermediários, entre dois key-frames, necessários para a criação da ilusão de movimento.

- 15) O que é quantização e quais são suas aplicações. Descreva de forma sucinta o Algoritmo da Populosidade (0.5 ponto).

Quantização é uma transformação que visa discretizar o gamute de cores de uma imagem, além de reduzir o número de bits necessário para armazenar a informação de cor. As principais aplicações estão na compressão e transmissão de imagens.

Algoritmo da Populosidade:

1. Calcule o histograma da imagem.
2. Escolha os k níveis de quantização como sendo as k cores mais frequentes (mais populosas).
3. A função de quantização $q(c)$ atribui a cada cor c o nível de quantização mais próximo de c segundo o quadrado da métrica euclidiana.

Obs.: Em caso de empate fazer uma escolha aleatória ou considerar a vizinhança do pixel.